

(61)

(61)

# ИЗВЕСТИЯ ВУЗОВ СССР РАДИОЭЛЕКТРОНИКА

ТОМ XXIV, № 12

ОТДЕЛЬНЫЙ ОТТИСК

КИЕВ — 1981

**Выводы.** 1. Совместное использование теории чувствительности и аппарата функциональных рядов Вольтерра позволяет с единых позиций определить структурные свойства усилительных трактов (УТ), обеспечивающих заданные стабильность и линейность передаточной характеристики.

2. Выбором порядка нулевой чувствительности (НЧ) можно контролировать не только стабильность, но и величину нелинейных искажений при сохранении требуемого усиления.

3. Если УТ содержит  $n$  усилительных звеньев и удовлетворяет условию НЧ до  $m$ -го порядка, то его усиление не превышает произведения передач  $(n-m+1)/2$  наименее усиливающих звеньев.

4. Разработанный метод исследования структурных свойств УТ не накладывает ограничений на величину, характер вариаций и порядок нелинейности передач, входящих в тракт усилительных звеньев и в этом смысле является общим.

#### ЛИТЕРАТУРА

- Гехер К. Теория чувствительности и допусков электронных цепей. М., «Советское радио», 1973, 199 с.
- Богданович Б. М. Основы теории и расчета малосигнальных электронных усилителей с контролируемыми нелинейными искажениями. Минск, «Вышэйшая школа», 1974, 310 с.
- Богданович Б. М. Структурный синтез цепей класса Вольтерра—Винера по критериям нелинейности.— В сб.: «Радиотехника и электроника», Минск, «Вышэйшая школа», 1976, вып. 6, с. 38—50.
- Богатырев Е. А., Гребенко Ю. А. Анализ нелинейных искажений в активных фильтрах с использованием рядов Вольтерра.— «Радиотехника», 1979, 34, № 10, с. 4—9.
- Томович Р., Вукобратович М. Общая теория чувствительности. М., «Советское радио», 1972, 238 с.

Поступила в редакцию 11 VII 1980 г.,  
после переработки 19 III 1981 г.

УДК 621.391.63

А. П. ТРИФОНОВ, А. В. ЗЮЛЬКОВ

#### ХАРАКТЕРИСТИКИ ОБНАРУЖЕНИЯ И ОЦЕНКИ ПОЛОЖЕНИЯ ИСТОЧНИКА СИГНАЛА, МОДУЛИРУЮЩЕГО ПУАССОНОВСКОЕ СЛУЧАЙНОЕ ПОЛЕ

Найдены асимптотически точные выражения для вероятностей ошибок первого и второго рода при обнаружении источника сигнала с неизвестным положением. С учетом аномальных ошибок получена корреляционная матрица оценок максимального правдоподобия координат источника сигнала.

Пусть имеется однородное пуассоновское случайное поле  $N(\vec{\xi})$ , где  $\vec{\xi} \in G$ , причем  $\vec{\xi} = (\xi_1, \xi_2)$  — вектор пространственных координат;  $G$  — область на плоскости. Обозначим  $\lambda(\vec{\xi})$  — интенсивность наблюдаемого поля. Полагаем, что

$$\lambda(\vec{\xi}) = \lambda_1(\vec{\xi} - \vec{x}_0) + \lambda_0 \quad (1)$$

или

$$\lambda(\vec{\xi}) = \lambda_0. \quad (2)$$

Здесь  $\lambda_1(\vec{\xi} - \vec{x})$  — интенсивность поля, создаваемого источником сигнала, расположенным в точке  $\vec{x} \in G$ , а  $\lambda_0$  — постоянная интенсивность поля, создаваемого мешающим излучением. Вид функции  $\lambda_1(\vec{\xi})$  и величина  $\lambda_0$  предполагаются известными.

По реализации  $N_G$  поля  $N(\vec{\xi})$ , полученной в результате наблюдения в области  $G$  необходимо: 1) определить, имеется ли сигнал  $\lambda_1(\vec{\xi} - \vec{x})$  или его нет; 2) в случае, когда сигнал имеется, найти оценку его положения  $\vec{x}$ . При использовании метода максимального правдоподобия решение выносится в результате анализа логарифма функционала отношения правдоподобия, который согласно [1], может быть записан в виде

$$M(\vec{x}) = - \int_G \lambda_1(\vec{\xi} - \vec{x}) d\vec{\xi} + \int_G \ln \psi(\vec{\xi} - \vec{x}) N(d\vec{\xi}), \quad (3)$$

где  $\psi(\vec{x}) = 1 + \lambda_1(\vec{x})/\lambda_0$ . Процедура обнаружения сводится к вычислению функции (3) для всех  $\vec{x} \in G$ , определению наибольшего (абсолютного) максимума  $M(\vec{x})$  и сравнению этого максимума с порогом, задаваемым критерием оптимальности. В случае, когда сигнал имеется (1), в качестве оценки  $\vec{x}_m$  неизвестного положения источника сигнала  $\vec{x}_0$  используется положение абсолютного максимума  $M(\vec{x})$ . В дальнейшем при анализе обнаружения и оценки, аналогично [1] будем полагать, что  $\lambda_1(\vec{\xi} - \vec{x})$  отличается от нуля лишь в малой области  $G_1$  в окрестности точки  $\vec{x}$ , а на границе  $G$  интенсивность  $\lambda_1(\vec{\xi} - \vec{x}) = 0$ .

Представим (3) в виде суммы регулярной и шумовой составляющих [2]:  $M(\vec{x}) = \hat{S}(\vec{x}) + \hat{N}(\vec{x})$ , где

$$\hat{S}(\vec{x}) = \langle M(\vec{x}) \rangle, \quad \hat{N}(\vec{x}) = M(\vec{x}) - \langle M(\vec{x}) \rangle. \quad (4)$$

При наличии источника сигнала в области  $G$  (1)  $\hat{S}(\vec{x}) = Q + \hat{S}_1(\vec{x} - \vec{x}_0)$ , а в его отсутствии (2)  $\hat{S}(\vec{x}) = Q$ . Здесь  $Q = \lambda_0 \int_G \ln \psi(\vec{\xi} - \vec{x}) d\vec{\xi} - \int_G \lambda_1(\vec{\xi} - \vec{x}) d\vec{\xi}$  при сделанных предположениях не зависит от  $\vec{x}$ , а  $\hat{S}_1(\vec{x} - \vec{x}_0) = \int_G \lambda_1(\vec{\xi} - \vec{x}_0) \times$

$\times \ln \psi(\vec{\xi} - \vec{x}) d\vec{\xi}$  функция, которая достигает абсолютного максимума при  $\vec{x} = \vec{x}_0$ . Шумовая функция  $\hat{N}(\vec{x})$  (4) по определению представляет собой случайное поле с нулевым средним значением и функцией корреляции

$$K(\vec{x}_1, \vec{x}_2) = \int_G \lambda_1(\vec{\xi}) \ln \psi(\vec{\xi} - \vec{x}_1) \ln \psi(\vec{\xi} - \vec{x}_2) d\vec{\xi}. \quad (5)$$

Вычисляя кумулянты шумовой функции, аналогично [3], можно показать, что при выполнении неравенств

$$n_0 \gg 1, \quad n_1 \gg 1 \quad (6)$$

распределение поля  $\hat{N}(\vec{x})$  приближенно является гауссовским. В (6)  $n_0 = \lambda_0 V_1$ ,  $n_1 = (\lambda_0 + \lambda_m) V_1$ ,  $V_1$  обозначает площадь области  $G_1$ , в которой интенсивность источника сигнала  $\lambda_1(\vec{\xi} - \vec{x})$  отлична от нуля,  $\lambda_m = \max \lambda_1(\vec{\xi})$ . В дальнейшем, как правило, будем считать, что неравенства (6) выполняются.

ся и шумовая функция  $\hat{N}(\vec{x})$  — гауссовское случайное поле. Заметим также, что площадь области, в которой функция корреляции (5) отлична от нуля, приближенно равна  $V_1$ .

**Характеристики обнаружения источника сигнала с неизвестным положением.** При отсутствии сигнала, когда выполняется (2), выражение (3) можно записать в виде  $M(\vec{x}) = Q + \hat{N}_0(\vec{x})$ . Согласно (2), (5) функция корреляции шумовой функции  $\hat{N}_0(\vec{x})$  определяется выражением

$$K_0(\vec{x}_1, \vec{x}_2) = \lambda_0 \int_G \ln \psi(\vec{\xi} - \vec{x}_1) \ln \psi(\vec{\xi} - \vec{x}_2) d\vec{\xi} = K_0(\vec{x}_1 - \vec{x}_2). \quad (7)$$

Следовательно, при сделанных предположениях, логарифм функционала отношения правдоподобия представляет собой однородное гауссовское поле со средним значением  $Q$  и функцией корреляции (7). В соответствии с методом максимального правдоподобия, решение о наличии источника сигнала принимается, если  $\max_{\vec{x} \in G} M(\vec{x}) > h$ , где  $h$  — порог. Значит вероятность ошибки первого рода (ложной тревоги) запишется как

$$\alpha = P[\max_{\vec{x} \in G} \hat{N}_0(\vec{x}) > h - Q] = 1 - P[\max_{\vec{x} \in G} \hat{N}_0(\vec{x}) < u], \quad (8)$$

где  $N_0(\vec{x}) = \hat{N}_0(\vec{x})/\sigma_0$ ,  $u = (h - Q)/\sigma_0$ , а  $\sigma_0^2 = K_0(\vec{x}, \vec{x}) = \lambda_0 \int_G \ln^2 \psi(\vec{\xi}) d\vec{\xi}$  — дисперсия шумовой функции. Следуя [4, 5], вероятность ложной тревоги (8) можно аппроксимировать формулой

$$\alpha = \begin{cases} 1 - \exp[-mu \exp(-u^2/2)/(2\pi)^{3/2}], & u \geq 1, \\ 1, & u < 1, \end{cases} \quad (9)$$

где

$$m = V\sqrt{\Omega}, \quad \Omega = \omega_{11}\omega_{22} - \omega_{12}^2,$$

$$\omega_{ij} = \int_G \psi^{-1}(\vec{\xi}) (\partial \lambda_1(\vec{\xi}) / \partial \xi_i) (\partial \lambda_1(\vec{\xi}) / \partial \xi_j) d\vec{\xi} \left\{ \int_G \ln^2 \psi(\vec{\xi}) d\vec{\xi} \right\}^{-1}, \quad i, j = 1, 2,$$

а  $V$  — площадь области  $G$ . Согласно [3—5] точность этой формулы улучшается с увеличением порога  $u$ , отношения  $V/V_1$  или параметра  $m$  и с ростом  $n_0$ .

Определим вероятность ошибки второго рода (пропуска источника сигнала)  $\beta$ . Обозначим  $G_0$  — область, дополняющая  $G_1$  до  $G$ , так что  $G = G_1 \cup G_0$ ,  $H_1$  — величина абсолютного максимума логарифма функционала отношения правдоподобия при  $\vec{x} \in G_1$ ,  $H_0$  — то же самое при  $\vec{x} \in G_0$ . Так как предполагается, что  $V \gg V_1$ , то случайные величины  $H_1$  и  $H_0$  можно приближенно считать статистически независимыми [6]. Следовательно, предполагая наличие источника сигнала (1) в области наблюдения  $G$ , для вероятности пропуска получаем приближенное выражение

$$\beta \simeq P[H_1 < h] P[H_0 < h] = F_1(h) F_0(h). \quad (10)$$

В области  $G_0$  статистические характеристики  $M(\vec{x})$  (3) такие же, как при отсутствии сигнала. Поэтому, аналогично (9), можем записать аппроксимацию

$$F_0(h) \simeq \begin{cases} \exp[-mu \exp(-u^2/2)/(2\pi)^{3/2}], & u \geq 1, \\ 0, & u < 1. \end{cases} \quad (11)$$

При наличии источника сигнала и  $\vec{x} \in G_1$

$$H_1 = M(\vec{x}_m) = Q + \hat{S}_1(\vec{x}_m - \vec{x}_0) + \hat{N}(\vec{x}_m), \quad (12)$$

где  $\vec{x}_m$  — оценка максимального правдоподобия неизвестного положения источника сигнала. Обозначим:  $S_m = \max \hat{S}_1(\vec{x}) = \int_G \lambda_1(\vec{\xi}) \ln \psi(\vec{\xi}) d\vec{\xi}$ ,  $S_1(\vec{x}) = \hat{S}_1(\vec{x})/S_m$ ,  $\sigma_1^2 = K(\vec{x}_0 \vec{x}_0) = \lambda_0 \int_G \psi(\vec{\xi}) \ln^2 \psi(\vec{\xi}) d\vec{\xi}$ ,  $N(\vec{x}) = \hat{N}(\vec{x})/\sigma_1$ ,  $\varepsilon = \sigma_1/S_m$  и перепишем (12) как

$$H_1 = Q + S_m [S_1(\vec{x}_m - \vec{x}_0) + \varepsilon N(\vec{x}_m)]. \quad (13)$$

Здесь  $S_1(\vec{x})$  и  $N(\vec{x})$  нормированы таким образом, что  $\max S_1(\vec{x}) = \langle N^2(\vec{x}_0) \rangle = 1$ . Полагая далее  $\varepsilon \ll 1$ , разложим (13) в ряд Маклорена по  $\varepsilon$ , учитывая, что  $\vec{x}_m = \vec{x}_m(\varepsilon)$ . Решая систему уравнений правдоподобия методом малого параметра [2], в качестве которого используем  $\varepsilon$ , находим

$$H_1 \simeq Q + S_m \left[ 1 + \varepsilon N(\vec{x}_0) + \varepsilon^2 \sum_{i,j=1}^2 N_i N_j A_{ij} / 2\Omega_1 + \dots \right]. \quad (14)$$

Здесь отброшены  $\varepsilon^3$  и более высокие степени малого параметра,  $N_i = [\partial N(\vec{x}) / \partial x_i]_{\vec{x}_0}$ ,  $i = 1, 2$ ;  $\Omega_1$  — определитель с элементами

$$\omega_{ij} = \lambda_0^{-1} \int_G \frac{\partial \lambda_1(\vec{\xi})}{\partial \xi_i} \frac{\partial \lambda_1(\vec{\xi})}{\partial \xi_j} \psi^{-1}(\vec{\xi}) d\vec{\xi} \left\{ \int_G \lambda_1(\vec{\xi}) \ln \psi(\vec{\xi}) d\vec{\xi} \right\}^{-1}, \quad i, j = 1, 2,$$

$A_{ij}$  — алгебраические дополнения определения  $\Omega_1$ . Из формулы (14) следует, что даже при выполнении (6), но  $\varepsilon > 0$ , распределение случайной величины  $H_1$  является негауссовским. Однако при  $\varepsilon \rightarrow 0$  это распределение приближается к гауссовскому. Поэтому при выполнении (6) и  $\varepsilon \ll 1$  будем аппроксимировать распределение случайной величины  $H_1$  отрезком ряда Эджвортса [3]. Тогда распределение  $H_1$  можно записать в виде

$$F_1(h) \simeq \Phi(y) - \frac{\chi_3}{3!\chi_2^2} \Phi^{(3)}(y) + \frac{\chi_4}{4!\chi_2^{5/2}} \Phi^{(4)}(y) + \frac{\chi_3^2}{7!\chi_2^{7/2}} \Phi^{(6)}(y), \quad y = (h - \chi_1)/\sqrt{\chi_2}. \quad (15)$$

Здесь  $\Phi^{(k)}(x) = d^k \Phi(x) / dx^k$ ,  $\Phi(\cdot)$  — интеграл вероятности [2], а  $\chi_i$  — кумулянты случайной величины  $H_1$ . Используя результаты [3], получаем

$$\chi_1 = S_m + Q + 1; \quad \chi_2 = \sigma_1^2 - 1 - B_4; \quad \chi_3 = \sigma_1^3 \Delta_3 + B_6 - 3B_4 + 2;$$

$$\chi_4 = \sigma_1^4 (\Delta_4 - 3) + B_8 - 4B_6 - 3B_4^2 + 12B_4 - 6;$$

$$B_k = \frac{\varepsilon^k}{(2\Omega_1)^{k/2}} \frac{S_m^{k/2}}{\sigma_1^2} \sum_{i_1, \dots, i_k=1}^2 m_k(i_1, \dots, i_k) \prod_{j=1}^k A_{i_j, i_{j+1}};$$

$$m_k(i_1, \dots, i_k) = \langle N_{i_1} \cdots N_{i_k} \rangle; \quad \Delta_k = \frac{\lambda_0}{\sigma_1^k} \int_G \psi(\vec{\xi}) \ln^k \psi(\vec{\xi}) d\vec{\xi}.$$

Подставляя (11) и (15) в (10), получаем приближенное выражение для вероятности пропуска источника сигнала. Точность этой формулы, как и формулы (9), улучшается с увеличением порога  $u$ , отношения  $V/V_1$  или параметра  $m$  и с ростом величин  $n_0$  и  $n_1$ . Кроме того, условием асимптотической точности приближенной формулы для вероятности пропуска является требование  $\varepsilon \rightarrow 0$ . Таким образом, полученные приближенные формулы для вероятностей ошибок первого и второго рода обеспечивают высокую точность расчета в области малых вероятностей ошибок, наиболее интересной с точки зрения практики.

Полученные выражения несколько упрощаются, когда интенсивность  $\lambda_1(\vec{\xi})$  является осесимметричной функцией координат, т. е.

$$\lambda_1(\vec{\xi}) = \lambda_1(\sqrt{\xi_1^2 + \xi_2^2}) = \lambda_1(\rho), \quad \rho = \sqrt{\xi_1^2 + \xi_2^2}. \quad (16)$$

Переходя в этом случае к полярной системе координат, находим

$$\begin{aligned} B_4 &= \frac{1}{2} \left( J_4/J_2^2 + \frac{\pi}{4} \right); \quad B_6 = \frac{1}{4\pi^2} \left[ J_6/J_2^3 + \frac{9\pi}{2} J_4/J_2^2 + \left( \frac{3\pi}{4} \right)^2 \right]; \\ B_8 &= \frac{1}{(2\pi)^3} \left[ J_8/J_2^4 + 8\pi J_6/J_2^3 + \frac{157\pi}{2} J_4/J_2^4 + 18\pi^2 J_4/J_2^2 + \frac{3\pi^3}{2} \right]; \\ J_k &\equiv \lambda_0^{-(k-1)} \int_0^\infty \psi^{-(k-1)}(\rho) [d\lambda_1(\rho)/d\rho]^k \rho d\rho. \end{aligned}$$

**Характеристики оценки положения источника сигнала.** Положим, что справедливо (1), так что в области  $G$  присутствует источник сигнала. В качестве оценки неизвестного параметра  $\vec{x}_0$  принимают положение  $\vec{x}_m$  абсолютного максимума  $M(\vec{x})$  (3) при  $\vec{x} \in G$ . Обозначим  $P_0$  вероятность того, что максимум  $M(\vec{x})$  при  $\vec{x} \in G_1$  больше любого выброса  $M(\vec{x})$  при  $\vec{x} \in G_0$ . Тогда, согласно [2, 5], при  $m \gg 1$  ( $V \gg V_1$ ) выражение для элементов матрицы вторых моментов ошибок оценки можно записать как

$$\tilde{V}_{ij}(\vec{x}_m | \vec{x}_0) = \langle (x_{mi} - x_{0i})(x_{mj} - x_{0j}) \rangle = P_0 R_{1ij} + (1 - P_0) R_{0ij}, \quad i, j = 1, 2. \quad (17)$$

Здесь усреднение выполняется по реализациям наблюдаемого поля при фиксированном  $\vec{x}_0$ ,  $R_{1ij}$  — элементы корреляционной матрицы нормальных ошибок,  $R_{0ij}$  — элементы корреляционной матрицы аномальных ошибок, а  $P_0$  — вероятность надежной оценки [2, 5]. В качестве корреляционной матрицы нормальных ошибок при малых  $\varepsilon$  можно использовать корреляционную матрицу эффективных оценок [1, 2]

$$R_1 = \left\| \lambda_0^{-1} \int_G \psi^{-1}(\vec{\xi}) \frac{\partial \lambda_1(\vec{\xi})}{\partial \xi_i} \frac{\partial \lambda_1(\vec{\xi})}{\partial \xi_j} d\vec{\xi} \right\|^{-1}, \quad i, j = 1, 2. \quad (18)$$

Для того чтобы найти корреляционную матрицу аномальных ошибок, не необходимо конкретизировать форму области наблюдения  $G$ . Пусть, например, эта область имеет форму прямоугольника со сторонами  $X_i$ , тогда

$$R_{0ij} = \delta_{ij} X_i X_j / 12 + x_{0i} x_{0j}, \quad (19)$$

где  $\delta_{ij}$  — символ Кронекера.

В соответствии с определением вероятности надежной оценки [2]  $P_0 = P[H_1 > H_0]$ . Так как при  $V \gg V_1$  случайные величины  $H_0$  и  $H_1$  прибли-

женно независимы, получаем  $P_0 \simeq \int F_0(H) dF_1(H)$ , где  $F_0(\cdot)$  и  $F_1(\cdot)$  определяются из (11) и (15). Ограничившись гауссовским приближением  $F_1(H)$ , находим

$$P_0 \simeq \frac{1}{\eta \sqrt{2\pi}} \int_1^\infty \exp \left[ -\frac{(x-\eta/\varepsilon)^2}{2\eta^2} - \frac{mx}{(2\pi)^{3/2}} \exp \left( -\frac{x^2}{2} \right) \right] dx, \quad (20)$$

$$\eta^2 \equiv \sigma_1^2/\sigma_0^2 = \int_G \psi(\vec{\xi}) \ln^2 \psi(\vec{\xi}) d\vec{\xi} / \int_G \ln^2 \psi(\vec{\xi}) d\vec{\xi}.$$

Подставляя (18) — (20) в (17) при  $i = j$ , получаем приближенное выражение для рассеяния (среднеквадратичной ошибки) оценки каждой из координат вектора  $\vec{x}_0$ . Точность этой формулы улучшается с уменьшением  $\varepsilon$ , увеличением отношения  $V/V_1$  или параметра  $m$  и с ростом величин  $\eta_0$  и  $n_1$ . Используя (20), несложно показать, что  $P_0 \rightarrow 1$  при  $\gamma \rightarrow \infty$ , где  $\gamma = \lambda_m/\lambda_0$ .

Таким образом, при достаточно большом отношении  $\gamma$ ,  $\tilde{V}_{ij}(\vec{x}_m | \vec{x}_0) = R_{ij}$ . Если интенсивность  $\lambda_1(\vec{\xi})$  осесимметричная, т. е. имеет вид (16), то

$$R_{ij} = \lambda_0 \left[ \pi \int_0^\infty \psi^{-1}(\rho) (d\lambda_1(\rho)/d\rho)^2 \rho d\rho \right]^{-1} \delta_{ij}; \quad m = V \int_0^\infty \psi^{-1}(\rho) (d\lambda_1(\rho)/d\rho)^2 \rho d\rho \times$$

$$\times \left( 2\lambda_0^2 \int_0^\infty \ln^2 \psi(\rho) \rho d\rho \right)^{-1}; \quad \varepsilon^2 = \lambda_0 \int_0^\infty \psi(\rho) \ln^2 \psi(\rho) \rho d\rho \times \quad (21)$$

$$\times \left[ V \sqrt{2\pi} \int_0^\infty \lambda_1(\rho) \ln \psi(\rho) \rho d\rho \right]^{-2}; \quad \eta^2 = \int_0^\infty \psi(\rho) \ln^2 \psi(\rho) \rho d\rho \left[ \int_0^\infty \ln^2 \psi(\rho) \rho d\rho \right]^{-1}.$$

Следует отметить, что при выполнении (16) дисперсия надежной оценки  $D = R_{1ii}$ ,  $i=1, 2$  координат источника сигнала, модулирующего поле, не зависит от размера (масштаба) сигнала. Очевидно, что  $D \neq 0$  даже когда  $\lambda_0 = 0$ , что согласуется с результатами [1, 7].

В качестве примера найдем дисперсию оценок координат источника сигнала с интенсивностью  $\lambda_1(\rho) = \lambda_m \exp(-\rho^2/\mu^2)$ . С учетом (21) дисперсию надежной оценки можно представить в виде

$$D = \{2\pi\lambda_m [1 - \varphi(\gamma)]\}^{-1}, \quad (22)$$

$$\text{где } \varphi(\gamma) = \begin{cases} \sum_{n=1}^{\infty} (-1)^{n+1} \gamma^{n-1} / n^2, & \gamma < 1, \\ \pi^2/12, & \gamma = 1, \\ \ln^2 \gamma / 2\gamma + \sum_{n=1}^{\infty} (-1)^n \gamma^{-n-1} / n^2, & \gamma > 1. \end{cases}$$

Формула (22) существенно упрощается при  $\gamma \ll 1$

$$D = 2/\pi\lambda_m \gamma = 2\lambda_0/\pi\lambda_m^2 \quad (23)$$

и при  $\gamma \gg 1$

$$D = D_{\min} = 1/2\pi\lambda_m. \quad (24)$$

На рис. 1, а сплошной кривой нанесена зависимость  $q(\gamma) = D/D_{\min}$ , построенная по формуле (22). Штриховая кривая 1 рассчитана по формуле (23), а кривая 2 — по формуле (24).

На рис. 1, б приведены зависимости нормированного рассеяния  $f(\gamma) = \tilde{V}/D_{\min}$  оценки координаты, рассчитанные по формулам (17),

(19), (20), (22) с учетом аномальных ошибок. Сплошными кривыми на-несены зависимости  $f(\gamma)$  для  $n_0 = \mu^2 \lambda_0 = 10^4$ , а штриховыми — для  $n_0 = 5 \cdot 10^3$ . Штрихпунктиром на рис. 1, б показана нормированная дисперсия эффективной оценки  $q(\gamma)$ . Из рассмотрения кривых рис. 1, б сле-

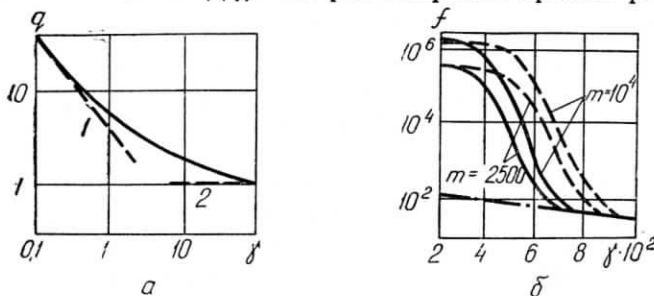


Рис. 1.

дует, что рассеяние оценки максимального правдоподобия координат источника сигнала может существенно превосходить дисперсию эффективной оценки.

#### ЛИТЕРАТУРА

1. Федосеев В. И., Широков В. Ф. Обнаружение и оценка положения источника сигнала, модулирующего плюассоновское случайное поле.— «Изв. вузов—Радиофизика», 1975, 18, № 2, с. 246.
2. Куликов Е. И., Трифонов А. П. Оценка параметров сигналов на фоне помех. М., «Советское радио», 1978.
3. Малахов А. Н. Кумулянтный анализ случайных негауссовых процессов и их преобразований. М., «Советское радио», 1978.
4. Беляев Ю. К. Распределение максимума случайного поля и его приложение к задачам надежности.— Изв. АН СССР— «Техническая кибернетика», № 2, с. 77.
5. Маршаков В. К., Трифонов А. П. Теоретическое и экспериментальное исследование приемника максимального правдоподобия.— «Радиотехника и электроника», 1974, 19, № 11, с. 2266.
6. Трифонов А. П. Прием разрывного квазидетерминированного сигнала на фоне гауссовой помехи.— Изв. АН СССР— «Техническая кибернетика», 1978, № 4, с. 146.
7. Бакут П. А., Выгон В. Г., Курикша А. А., Репин В. Г., Тартаковский Г. П. Некоторые вопросы теории приема световых сигналов.— «Проблемы передачи информации», 1966, 2, 4, с. 39.

Поступила в редакцию 3 VII 1980 г.,  
после переработки 9 IV 1981 г.

А. А. МАЛЬЦЕВ, И. Е. ПОЗУМЕНТОВ

УДК 621.396.677

#### АДАПТИВНЫЙ ГРЕБЕНЧАТЫЙ ФИЛЬТР ПОДАВЛЕНИЯ

В системах обработки импульсных сигналов, характеристики которых медленно изменяются случайным образом, предложено использовать адаптивный гребенчатый фильтр подавления (АГФП) с автоматически подстраиваемой линией задержки в одном из каналов. Исследована точность настройки АГФП при разных входных сигналах. Проанализировано влияние различных нестабильностей системы обработки на эффективность работы АГФП.

В настоящее время адаптивные устройства (фильтры) получают все более широкое распространение в радиолокации, связи и других областях радиоэлектроники [1—4]. Для фильтрации импульсныхperi-